

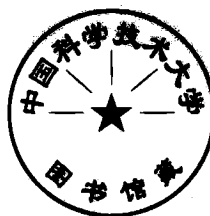
# 潮汐电站技术参考资料

水利电力部上海勘测设计院

科技卫生出版社

## 內容提要

本書選擇俄、德、日、英等國雜誌上有關大型潮汐電站土建機電方面的文章五篇：1. 潮汐發電站——可靠的能源；2. 潮汐電站的發展；3. 關於蘭斯潮汐電站的機電設備；4. 貫流式水輪機；5. 用於貫流式水輪機的感應發電機。對於世界上潮汐電站最近的發展情況，與河川電站、水力電站的配合，各種潮汐電站的總體設計，適合於潮汐電站的新型機電設備俱有敘述。



## 潮汐電站技術參考資料

編者 水利電力部上海勘測設計院

\*

科技衛生出版社出版

(七海南京西路 2004 號)

上海市書刊出版業營業登記證出 093 號

中國科學院上海分院印刷廠印刷 新華書店上海發行所總經售

\*

開本 850×1168 脊 1/32 印張 2 1/2 字數 62,000

1958年10月第1版 1958年12月第1版第2次印刷

印數 2,001~3,300

統一書號：15119·969

定價：(十) 0.32 元

## 前　　言

为今年 10 月 17 日即將召开的全國潮汐發電會議交流資料需要，我院選擇了四篇有关潮汐發電的國外技術資料，合訂成本冊。这些資料主要報導國外潮汐發電方面的一些技術問題，但由于這門科学在國際上尚在萌芽階段，經驗不多，因此認為本冊中所述及的一些問題，僅能作為我們在研究工作中的參考。

水利电力部上海勘測設計院

1958. 9

## 目 錄

I.	潮汐發電站——可靠的能源.....	1
	專家工作組譯自苏联“水工建設”雜誌 1958 年第 2 期	
II.	潮汐電站的發展.....	20
	朱偉良譯自西德“土木工程”雜誌 1957 年第 12 期	
III.	關於蘭斯潮汐電站的机电設備.....	49
	崔學祖、劉佩蘭摘譯自國際大電網會議文集	
IV.	貫流式水輪機.....	61
	唐仲希譯自日本“三菱電機”雜誌 1958 年第 3 期	
V.	用于貫流式水輪機的感应發電機.....	71
	唐仲希譯自日本“三菱電機”雜誌 1958 年第 3 期	

# I. 潮汐發电站——可靠的能源

技术科学硕士 尔·白·卡尔什吉英

最近几年國外对潮汐电站很感兴趣。例如法國已在 1956 年开始建造蘭斯潮汐电站，容量为 34 万 2 千瓩，年發电量为 8 億度，且对潮汐电站的利用進行試驗研究工作[1]。其中并在四个專門建造的水电站內裝了八台可逆式水輪机做試驗，总容量为七万三千瓩。正進行紹澤与門克两潮汐电站的設計，容量各为一千万瓩，發电量各为 250 億度。外國刊物上廣泛地討論着美國、加拿大、英國与阿根廷等新的潮汐电站的設計。在美國 1956 年已批准对克伏奇潮汐电站設計的撥款。

所有这些是極其重要的，因为还在战前时期对于潮汐能已形成一种觀念，好象它極为昂貴，而且利用起來又不方便似的。阿卑尔伏拉克潮汐电站(法國 1931 年)和克伏奇潮汐电站(美國 1936 年)动工建造而又廢棄的慘痛經驗常被人們用來引証，克伏奇潮汐电站毫無結果地白化了七百万美元，而电价比火電貴 33%。苏联在战前完成設計的基司洛古勃司潮汐电站，电价要比河流的貴 1 倍。

电价貴的原因可以从下列两方面看出，(一)十分大的流量必須在低水头和不穩定的水头条件下通过潮汐电站。(二)出力多变而且是断續的。

直接促進利用潮汐能的原因，是由能量不足的威脅，西方好多國家正經受着这种不足(西歐 1955 年可取得的能量总共为滿足需要的 80%，根据聯合國的資料 1975 年僅能及需要的 60%)。潮汐能具有特殊的性質，这种情况是具有重大意义的。但是人們未

能早些考慮到，就是現在亦未完全意識到。

1946 年我們在 МИСИ 所寫的論文曾經說明，潮汐能在一定方法下不僅可補充電力平衡的不足，并且能改善電力系統的運行。但是這只有在現代動力工程與電力系統發展的水平上才有可能達到，即火電站及原子電站的發展不但不妨礙水電站的很大發展，而相反地促進水電站容量的發展，它（在最有利的情況下）應該負擔全部峯荷。可是河流的水力資源（最適合於用來擔負峯荷的水力資源）是有限制的，因此對潮汐能量有迫切的要求。同樣在蘇聯的歐洲部分，我們差不多已完全利用了河流的水能資源。

蘇聯的潮汐能的蘊藏量究竟怎樣？能在動能利用上起重要作用的潮汐被觀察到的有：穆爾曼斯克海岸（最大潮差自穆爾曼斯克的 4 公尺到盧包夫克的 7 公尺）；在白海的捷爾斯克與齊姆年海濱達 10 公尺；在鄂霍次克海的沿岸達 10 公尺。若不包括遠東地區，則最大的潮汐能資源系集中在白海的麥晉海灣（達 900 億度），而遠東地區關於大潮汐電站的建造須在黑龍江開發以後才能談得到。

以麥晉海灣《動力蓄能》（一種指標，相當於水力資源“理論蓄能”，作者提出來以便估計潮力資源）<sup>①</sup>與外國海灣蓄能相比較便能顯示出麥晉海灣的能量水平遠遠的超過德國、西班牙、荷蘭的海岸，並且也稍許超過克勃司庫克（克伏奇潮汐電站）的水平，僅較英國、法國與加拿大的天然資源稍遜些（圖 1）。麥晉海灣的面積（圖 2）可以建造世界上最大的潮汐電站，即使選用最小容量的方案還是世界上最大的。

① 潮汐區域的“蓄能”相應於河川的“理論蓄能”，並相等於一平方公里海洋地區水位漲落一年內所做功。在 1946 年，在正規的半日潮平均潮差為  $A$  公尺情況下所作的功，我們曾建議按下列公式計算。

$$Q_n = 1.97 \times 10^3 A^2 \text{ 度/年/平方公里}.$$

對面積為  $F$  平方公里的海洋地區，則按下列式：

$$Q_n = 1.97 \times 10^6 A_{cp} \cdot F \text{ 度/年}.$$

後來在 1955 年，日布拉提出了結構相似的公式，不過以大汛潮差  $A_{census}$  代替  $A_{cp}$  [9]

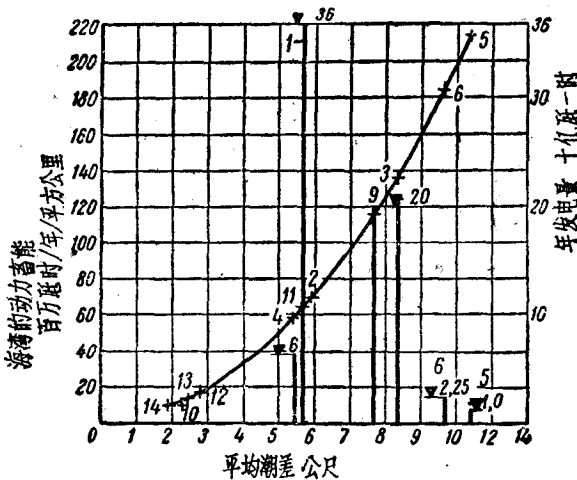


圖 1

- 1. 白海潮汐电站(苏联)
- 2. 山霍士(阿根廷)
- 3. 紹澤(法國)
- 4. 克伏奇(美國)
- 5. 彼基高基克(加拿大)
- 6. 舍凡爾(英國)
- 7. 蘭斯(法國)
- 8. 基司拉(苏联)
- 9. 麥晉(苏联)
- 10. 德國
- 11. 西班牙
- 12. 葡萄牙

曲線代表  $P=f(A)$ ; 垂直線——潮汐電站年發電量

現在我們來研究一下潮汐能的特性：

流入海灣的潮汐波的出力平均值建議以下列公式來推算：

$$N_{cp} = 225 A^2 F \text{瓩},$$

式中  $A$ ——波幅, 公尺(即潮差);

$F$ ——海灣面積, 以平方公里計。

如果考慮到高潮汐區域內潮汐波幅的變化主要取決于天文因素, 這種天文因素在 29.5 個晝夜的時間內(所謂太陰月), 經過了與潮汐形成能力值有極大影響的自己的特性周期, 那末在一個月內潮汐預想出力的變化, 可以如圖所示, 與潮差作相應比例的變化(圖 3)。此圖顯示了在太陰月內潮差平均值是不變的(即出力平均值不變)。由於天文因素的不變性, 這個數值在任何一年中的任何一

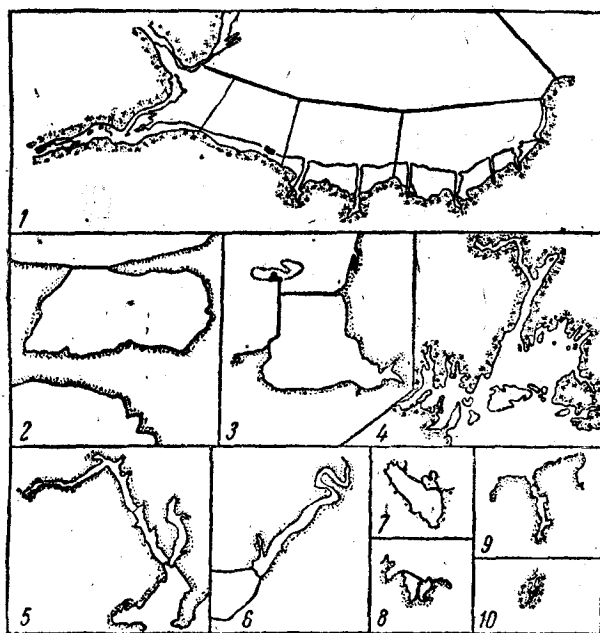


圖 2 正在設計的潮汐电站的海灣平面圖

M	面 積 平 方 公 里	平 均 潮 差 公 尺	平均大汛潮差 $A_{cp-cusue}$ 公 尺	各國潮汐电站的名称
1	2000	5.65	7	苏联白海潮汐电站
2	780	5.9	7.2	阿根廷山霍士潮汐电站
3	632	8.4	12.0	法國紹澤潮汐电站
4	340	5.46	7.5	美國克伏奇潮汐电站
5	118	10.8	14.6	加拿大彼基高基克潮汐电站
6	44	9.7	12.9	英國舍凡爾潮汐电站
7	110	4.3	5.5	苏联盧包夫克潮汐电站
8	21	7.4	10.75	法國阿爾蓋諾潮汐电站
9	20	7.62	10.85	法國蘭斯潮汐电站
10	2	2.37	3.1	苏联基司拉潮汐电站

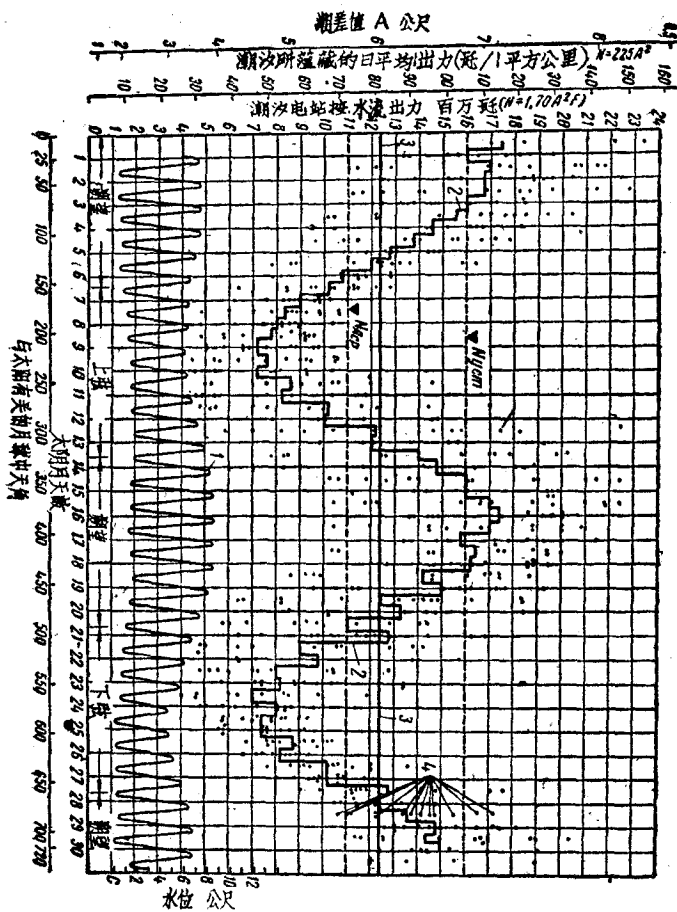


圖 3 白海潮汐電站於太陰月內的潮汐出力變化圖

1. 平均太陰月的潮水位過程。
2. 各太陰月內 12 個對應日的平均出力。
3. 太陰月期間潮汐蘊藏的平均出力，該出力等於年平均出力。
4. 一年中各太陰月在一個對應日的出力。

個月內都保持不變，這樣便可了解到潮汐能的特性，即在一年中及多年中月平均出力值不變，亦即潮汐系列的月平均出力值的變差系數  $C_1$  與偏差系數  $C_2$  都等於零。這一特性使潮汐能優於河川能，因為完全利用河川能的主要困難為河川逕流的變差系數和偏

差系数都很大，因河川逕流依气象因素而轉移，而气象因素与天文因素相反，又無一定規律性。

可是一方面潮汐月平均出力每年不变，另一方面圖 3 上还表示出每个月內出力的变化情况。这是由于月亮与太陽对地球相互位置的改变因而形成潮汐力值的变化（月亮与太陽为產生潮汐的主要因素）。从圖 3 中可以看出，从朔望（太陽地球和月亮处于一条直線）到月亮达到近地点的时候（太陽地球和月亮处在直角三角形的二邊），再到月亮达到远地点（月亮离地球最远的距离），潮汐預想出力在 7.1 畫夜的时期内改变了 8 次。但是，假定除开較难保証的最大出力，则它的数值差要改变 3 次。

要使这个“大小潮間”出力的不均匀性变成更均匀些，可以靠更充分的利用河流水电站水庫的季調節庫容來實現（一年 25 次而不是 2 次），因为根据我們的計算，这时所需要的水庫容積  $V_M$  僅占潮汐电站年电能  $\mathcal{G}$  的 1%（即小于調節相应的河川能所需的庫容 100—200 倍）。

这个潮汐能的优点，能克服它上述的缺点到什么程度呢？

上面所說的一切是天然状态下潮汐波所蘊藏的能量值。可是在潮汐电站水輪机利用这种能时，潮流从干潮的时刻，逐渐增長强度，然后在滿潮时刻又开始新的衰減，漲潮与落潮交替出現，使在一畫夜內所發出的出力，变成不均匀的、断續的和变化的。

为了使潮汐电站一畫夜內出力的不均匀性能夠消除，最近 70 年來曾提出許多种方法<sup>①</sup>。研究这些方法使我們能按調節程度分类，并且按这个标准查核每一方法的經濟性。所有提出过的解决方法可以分为两类：外部調節系統和多水池式自動調節系統。

外部調節在水力蓄能站上（RAY）可以進行得最完全（在月和日周期中），可是对潮汐电站來講这是不經濟的（在 1935 年克伏奇設計中的黑衣可克水力蓄能站，容量为 7 万瓩，消耗了潮汐电站电

① 1939 年法國公布了 280 个这个主题的專利特許证。

能的 22%，需要 30% 的投資，并且增加了每度發電价 83%，在舍凡爾設計中的得里立克格靈寺水力蓄能站，每度电价增加 100%，而建築物造價增加 28%）。

在基司洛古勃司 1940 年設計中用電力鍋爐來儲蓄每天的潮汐能，看來是很合理和經濟的（在這種情況下來儲蓄每一度的電能的投資僅為 4 戈比，而不是水力蓄能站（TAY）的 750 戈比）。但是這種解決方法僅是個別的，因為潮汐電站不可能僅靠燃燒設備來操作的，試圖利用潮汐能以產生蒸汽再產生能量（英國雪許高所建議的魯脫沙蓄電池系統）將使能量昂貴到不合理程度。

多水池式自動調節系統有可能從潮汐電站本身獲得更均勻的和連續的電能。這是能夠達到的，假如把潮汐電站的海灣分成兩個水池（如 1890 年甲克所建議的）或三個水池（按 1937 年的傑富爾循環），並且依次把這些水池和海聯通或者經過水輪機與過水孔互相接連。假如考慮到潮汐電站的出力視圍入的海灣面積而定，這樣就很明顯，把水池分為二部分或三部分，將引起電能相應的損失。還有，看來甚至這些方法中最現代的方法（1937 年傑富爾與卡可循環，其中由於把蓄水池與抽水機的轉送聰明地配合起來，成功地使潮汐電站根據需要而調整出力）仍是不能避免每月內潮汐變化規律的影響，而需要幾乎完全的重複容量。這就是為什麼在所有潮汐電站操作方法中寧可用單水池雙方面操作的裝置，這種裝置能在最少的單位投資下<sup>⑧</sup>供給最大的能量。

這種方法的日調節在很大的程度上可借所謂抽水機的工作效應來實現。抽水機的效應，還是克勞特[2]在 20 年代里發現的，其後在 1937 年在卡可和傑富爾[3]的循環中加以利用。抽水機效應的意義，就是在滿潮或干潮水流停止時，電站水池以抽水機來排水（或加水），便可大大增加其出力。既然上述的卡可-傑富爾循環的

⑧ 當海灣深度較淺與不便挖土或者照顧到航運，在局部情況下單向運動可能顯得有利。

分析已經指出,为了实现这种汲水必须建造抽水站,在动能經濟上不合理,因此在 1946 年我們建議了一种新的潮汐电站的操作循环,在这新的循环中,抽水效应借助于轉槳式型可逆式水輪机來实现。把水輪机改为抽水机后,在这循环内可增加能量 50%,并且使电站有可能根据需要而改变操作时间。

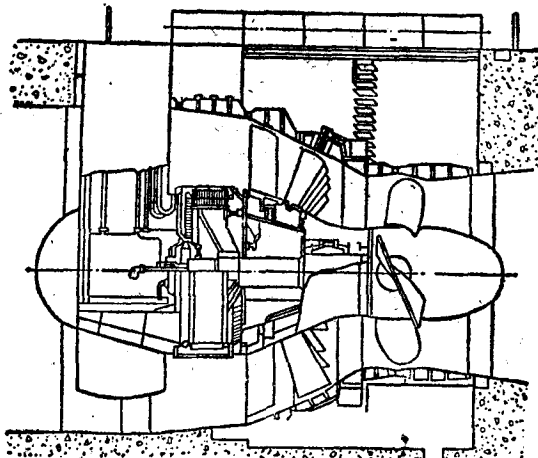


圖 4

蘭斯潮汐电站的可逆式机组,容量 9000 马力,转速 83 转/分

在 1953 年,日布拉 [4] 給出了抽水效应的理論根据。为了把它采用到蘭斯潮汐电站的设计中去,曾拟定和制造了特殊的橫軸水輪机,这种水輪机我們称它为單一机组 «МОНОБЛОК» (它附有裝在特制壳体内的沉放在水中的發电机如圖 4)。同时,根据單水池双方面操作方案設計的蘭斯潮汐电站可以增加自己的出力 15%,并且还可以使其裝机容量的 92% 和峯荷一致(而在卡可-傑富爾循环中能量損失为 25%,电能也比較昂贵)。但是,即使在水輪机逆向工作时,潮汐电站的部分日电能还不能納入負荷圖中,这种电能可用河川水电站的水庫來轉化(即儲蓄起來)。为轉化这种电能所必需的庫容  $V_c$  远远小于  $V_M$ 。

因此,根据上述情况,我們認為單水池两方向操作的裝置,对

加入电力系统的潮汐电站来说，是最为有效的，所以，针对这一方案，我们建议一个潮汐调节的方法如下。

在大多数我们感兴趣的海岸地带，每晝夜有二次潮汐波（图5中的正弦曲线）。

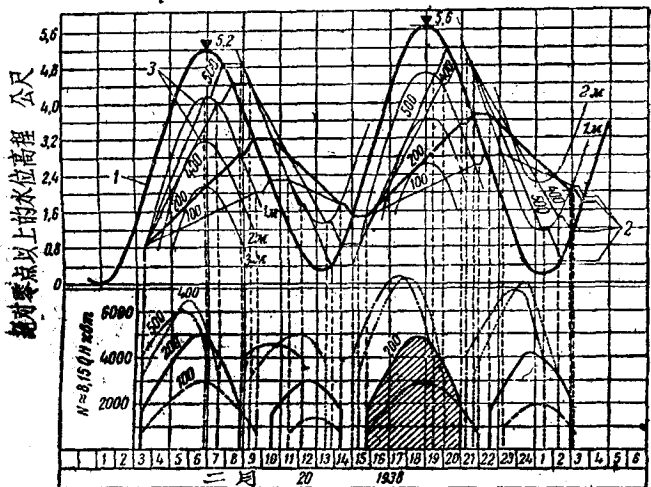


圖 5 在固定起始水头下按最大出力的潮汐調節

$$h_{max} = h_{min} = 1 \text{ 公尺}$$

海湾面積 1 平方公里

潮波頂高 5.44 公尺、

1—海水位。

2—不同流量  $Q$  时的潮汐电站池内水位。

3— $h$  線=不變數；

4— $Q$  線=不變數；

出力圖上的虛線部分相應于最大出力時的情況，其餘部分以粗線表示。

为了获得潮汐电站最有利的运行，應該如何轉化潮汐波進入用壩攔斷的河段里去呢？

可以規定無數個方案，在這些方案中，都將保證水頭或出力不變，改變操作周相或使水池蓄水和潮期相適應等等。但是上面已經證明，這種調整潮汐電站出力的企圖並沒有效果。所以在選擇潮汐電站的運行方式時，其關鍵性的問題是在於保證最大出力的要求。上述研究說明，能符合這一要求的只有那些在最大程度上

接近于潮汐天然周期的方式，这就是說，潮汐电站操作接近于假定流量（在某一变幅范围内）和潮汐电站操作周相的移动是固定不变时①。这种限制使这一問題成为选择怎样的流量值才能得到最大的發电量。

由于用分析法求解这一問題的困难（即当水头低于 0.5 公尺时，水輪机不能工作而使函数的連續性受到破坏），建議用圖解法來進行在潮汐流量通过电站流段时的潮汐流量調節計算。这方法就是在于繪制一系列出力曲綫圖，出力为各种平均流量的函数 [ $\vartheta = f(Q)$ ]。这种曲綫圖如圖 5 上面部分所示，在圖 5 中，当海中的水位是按正弦曲綫变化时，流段里的水位系按直線变化。在圖

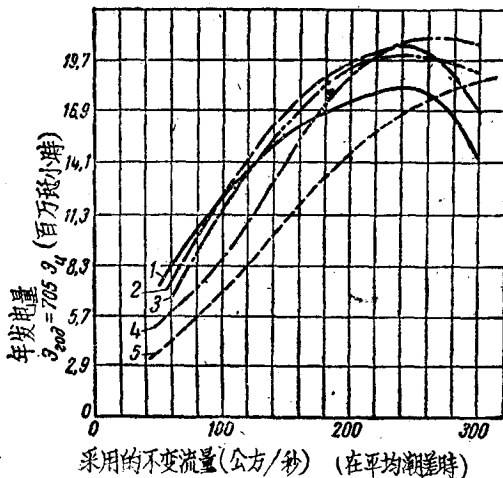


圖 6 取決于不变(規定波幅)流量和起始水头的發电量( $A=5.44$ 公尺,  $F=1$  平方公里)

- 1.  $h_{\max} = 0.5$  公尺,      8.  $h_{\max} = 1$  公尺,
- 4.  $h_{\max} = 2$  公尺,      5.  $h_{\max} = 2.5$  公尺。

① 事实上，由于采用了抽水方式，当为了使潮汐电站的运行方式适合于用电負荷圖，潮汐电站的工作周相有所移动时，这种条件就被破坏掉。但是固定流量調節，仍放在潮汐电站設計的第一阶段進行，因为它能够使我們有可能找出潮汐电站的“按水流”最有利的运行方式，这种方式在今后可看作是平均的方式，潮汐电站的实际运行方式将圍繞这种方式而变动。

中繪出了一些直線束，它們相應于當起始水頭（或終了水頭）不變時各種固定流量值。

此圖的下面部分表示在各種流量的情況下電站出力的變化。

圖 6 中繪有曲線  $\vartheta = f(Q, h_{nau})$ ，每根曲線均按相似於圖 5 的曲線數據各  $h_{nau} = h_{kon}$  = 不變數繪制。根據曲線圖 6，可以選出在經濟方面符合潮汐電站最大出力的最有利的運行方式（當計算潮差為 5.44 公尺時，由上述方式得出的最有利的運行方式用陰影表示，如圖 5）。

由於潮期是有規律的（在特性相同的地區），因而，用上述方法求得的最有利的出力曲線圖可以繪成其他任何潮差的出力曲線圖。為此，必須相應地改變出力的刻度比例（乘上所研究的潮差平方和計算的潮差平方比例系數，即  $K = 0.0336 A^2$ ）。如果把這種出力的比例擴展應用到各種不同的潮差（如圖 7 所示），則可得出潮汐電站出力的通用曲線，它在面積為 1 平方公里的情況下對任何海灣的任何潮差都很適用。

曲線圖 7 為潮汐的日週期。由於潮汐系列以太陰月為周期是對稱的，因此可在平均潮差的情況下確定潮汐電站的年出力。

根據圖 7 亦可導出簡單的潮汐電站參變數公式（其本身結構形式相應於公式  $N = KQH$ ），但式中的變數並不是水頭和流量，而是表現潮汐電站特性的潮汐的平均潮差 ( $A_{cp}$  公尺) 和水池面積 ( $F$  平方公里) 數值。為此，如果將按曲線圖求出的年出力除以用公式  $\vartheta_n = 1.97 \times 10^6 A_{cp}^2 F$  度確定的能量，並稱此比例關係，等於 0.315，為利用系數  $K_1$ （依電站的利用方案而定）的話，則  $\vartheta_{eoa} = 1.97 \times 10^6 K_1 A_{cp}^2 F$  度，但對於單水池雙向工作的電站來說，則  $\vartheta_{eoa} = 0.62 \times 10^6 A^2 F$  度。這種電站用曲線圖即可得出參變數公式： $N_{pem} = 250 A_{cp}^2 F$  瓩； $N_{min, nau} = 82 A_{cp}^2 \cdot F$  瓩； $h_{nau} = 0.185 A$ ； $Q_{pas} = 37 FA$  秒公方。顯然，通用曲線圖及上述公式，只可用來初步估計所需研究的場址和可能發出的電力，因為其中並未考慮到

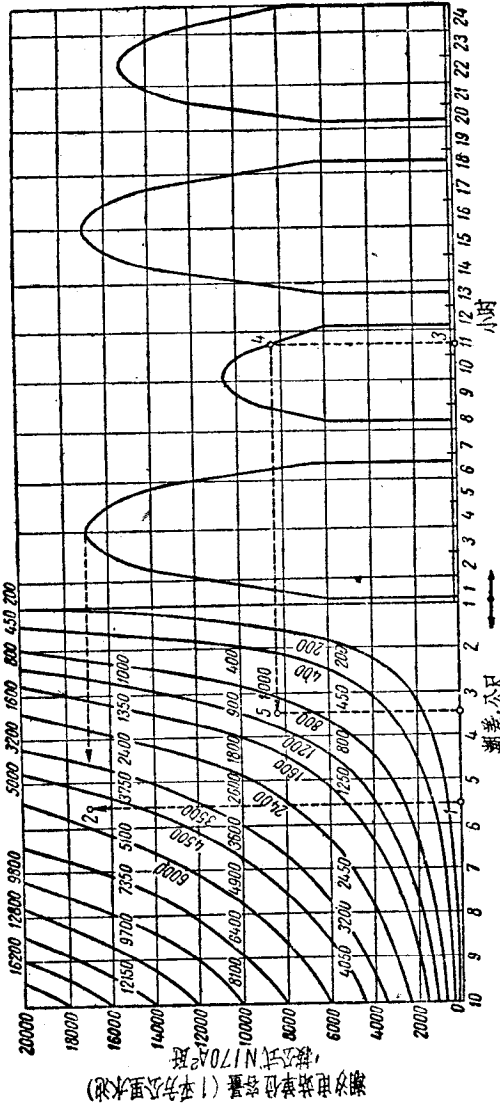


圖 7 請定潮汐電站在任一潮差情況下的出力通用曲線圖  
運用此圖的例子，根據潮差（例如 5.65 公尺）需要求出潮汐電站的最大出力，現引一垂直線 1 与水平線相交，這水平  
綫從容量曲線與垂線相交處引出的，容量的水頭數（5.65 公尺）在點 2 決定。求潮汐電站在已知時間內（10 小時 30 分鐘——占 8  
小時）的出力，从點 3 引出垂直線與電站出力線相交——4，容量可用插補點 5 數值的方法求出，點 5 是當潮差為 3.4 公尺時  
與垂直線相交得出。

漲潮和退潮的時間可能不平衡，冰的影响和干面積的存在。所有这些因素在將來設計階段應該考慮到的，但为勘定潮汐电站蓄水池特性，这些公式是足夠正确的了。

有了电站每晝夜(圖 7)和每月(圖 3)的出力曲綫圖，以及潮汐电站操作的參变数后，就可以决定其在电力系統中的作用和地位。潮汐电站的容量和电力系統容量的比值取决于电力系統的結構和用电負荷曲綫圖的特性，但在一般的情况下，潮汐电站的容量應該小于水电站容量，为了保証航运、供水和衛生所需的河水流量。据薛佛倫潮汐电站設計資料，在与火电站联合操作时，潮汐电站的出力不能超过所需最小容量的 20%。

为了利用沒有列入用电負荷曲綫圖內的潮汐电站的电能，在与潮汐电站联合运行的水电站上應該設置补充的重复容量，按我們提出的公式决定其数值。

$$\Delta N_{e3c} = V_c = t_{epo}$$

式中  $V_c$ ——不是直接利用在用电負荷曲綫圖內的潮汐电站每晝夜蓄能值。

$t_{epo}$ ——潮汐电站中轉化为在負荷曲綫圖内运行部分电能的操作时数。

从公式中可以看出， $\Delta N_{e3c}$  值將永远比  $N_{nsc}$  小得多。为了查明在現實条件下的重复容量值，以及为了查明由于實現上述潮汐电能的利用和納入系統的方法而起的效果，我們來研究巨型潮汐电站可能加入大型联合电力系統工作的例子。

根据我們的計算，白海潮汐电站的建筑物沿科努生-莫尔若威茨-伏罗諾夫海角用切断整个麥晉海灣的方法(壩長 100 公里，壩高 15—50 公尺)，可以獲得 900 億度电能。然而，甚至在最近 20 年远景中，这样大量的电能由于不适合河流水电站的出力而不能利用。沿科努生和阿勃拉莫夫切断海灣的东面淺水部分，壩高达 20 公尺，估計当  $N_{ycm}=160$  万瓩的时候，这里可以獲得保証电能 360